

Actas de las IX Jornadas Argentinas de Robótica 15-17 de noviembre, Córdoba, Argentina

Seguimiento de Trayectoria de un Robot Móvil Tipo Auto

Trajectory Tracking of a Car-Like Mobile Robot

Presentación: 25/09/2017

Aprobación: 02/12/2017

Julio Montesdeoca

Universidad Politécnica Salesiana- Cuenca, Ecuador
jmontesdeoca@ups.edu.ec

Lucio Salinas

Instituto de Automática, Universidad Nacional de San Juan – San Juan, Argentina
lsalinas@inaut.unsj.edu.ar

Marcos Toibero

Instituto de Automática, Universidad Nacional de San Juan – San Juan, Argentina
mtoibero@inaut.unsj.edu.ar

Ricardo Carelli

Instituto de Automática, Universidad Nacional de San Juan – San Juan, Argentina
rcarelli@inaut.unsj.edu.ar

Resumen

En este documento se presenta los resultados de simulación del diseño de un controlador cinemático para seguimiento de trayectoria aplicado a un robot móvil tipo auto. Dentro del diseño de la ley de control se considera las limitaciones de giro en el volante y la limitada velocidad del robot. Además de ello se considera el punto de interés en una posición arbitraria dentro o fuera del cuerpo del robot. La trayectoria se obtiene de un proceso de planificación en donde se presta atención a la limitación del giro del volante. Las simulaciones muestran un gran desempeño del controlador.

Palabras claves: Seguimiento de Trayectoria, Robot Móvil Tipo Auto, Modelo Cinemático Extendido.

Abstract

This document presents the simulation results of the design of a kinematic controller for trajectory tracking applied to a mobile robot type auto. Within the design of the control law, the steering wheel rotation limitations and the robot's limited speed are considered. In addition, the point of interest is considered in an arbitrary position inside or outside the robot's body. The trajectory is obtained from a planning process where attention is paid to limiting the rotation of the steering wheel. The simulations show great controller performance.

Keywords: Trajectory Tracking, Car-Like Mobile Robot, Extended Kinematic Model.

Seguimiento de Trayectoria de un Robot Móvil Tipo Auto

Julio Montesdeoca, et al.

157
(157-165)

I. Introducción

Actualmente, los robots móviles tipo auto son ampliamente usados en procesos de agricultura de precisión, navegación en exteriores, exploración de terrenos irregulares entre otras aplicaciones. En este contexto, los nuevos algoritmos de control orientados a este tipo de robots han facilitado la ejecución de las tareas antes mencionadas.

El modelado matemático clásico de un robot móvil tipo auto se rige por las restricciones no holonómicas de no deslizamiento ni desplazamiento lateral (De Luca et al, 1998) que se derivan de las matrices de Pfaffian (Canudas de Wit et al, 1996). A este proceso se conoce como modelado clásico, el problema de este modelo las técnicas de control usadas son muy complejas al momento de la implementación (F. Hamerlain, 2012) (L. Hwang et al, 2007). Por tal motivo, en este documento se propone el uso del modelado cinemático extendido para el diseño de una ley de control de fácil implementación, que cumple con las restricciones en las entradas de control (D. Chwa, 2007) para seguimiento de trayectoria, considerando el punto de interés del robot móvil tipo auto en una posición arbitraria, dentro o fuera del cuerpo del robot.

Este documento está estructurado de la siguiente manera: la sección II presenta el modelado cinemático extendido para robots móviles tipo auto, considerando el punto de interés en una posición arbitraria. La sección III presenta el diseño de la ley de control auxiliar considerando las entradas de control restringidas. Por otra parte, la sección IV presenta la prueba de estabilidad del sistema en lazo cerrado, usando la teoría de Lyapunov, mientras que en la sección V se presenta la etapa de planificación de la trayectoria; en la sección VI se presentan las simulaciones, y finalmente las conclusiones se presentan en la sección VIII.

II. Modelado Cinemático Extendido

La cinemática extendida para robots móviles con restricciones no holonómicas se basa en proponer un modelo cinemático de tipo holonómico para el sistema. Esto se logra al considerar la velocidad del eje lateral dentro del modelado suponiendo que es una pseudo entrada de control. La Fig. 1 muestra la estructura de un robot móvil tipo auto usada para el modelado cinemático extendido considerando el punto de interés en una posición cartesiana arbitraria (x, y) definida por d y α medidos desde la rueda posterior, ϕ representa el ángulo de orientación del cuerpo del robot y δ corresponde al ángulo de dirección de la rueda del frente.

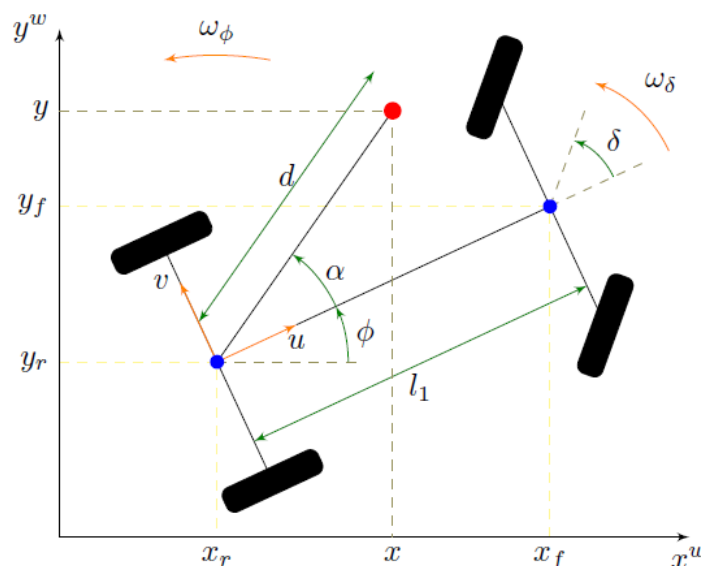


Fig. 1: Estructura de un robot tipo auto usado para obtener el modelo cinemático extendido.

El modelo cinemático extendido resultante al considerar la Fig. 1 se muestra a continuación:

$$\begin{bmatrix} \dot{x} \\ \dot{y} \\ \dot{\phi} \\ \dot{\delta} \end{bmatrix} = \begin{bmatrix} \cos \phi & -\sin \phi & -d \sin(\phi + \alpha) & 0 \\ \sin \phi & \cos \phi & d \cos(\phi + \alpha) & 0 \\ 0 & 0 & 1 & 0 \\ 0 & 0 & 0 & 1 \end{bmatrix} \begin{bmatrix} u \\ v \\ \omega_\phi \\ \omega_\delta \end{bmatrix} \quad (1)$$

Aplicando la cinemática inversa en (1) se obtiene (2), cuya representación compacta es $u = A(q)\dot{q}$

$$\begin{bmatrix} u \\ v \\ \omega_\phi \\ \omega_\delta \end{bmatrix} = \begin{bmatrix} \cos \phi & \sin \phi & d \sin \alpha & 0 \\ -\sin \phi & \cos \phi & d \cos \alpha & 0 \\ 0 & 0 & 1 & 0 \\ 0 & 0 & 0 & 1 \end{bmatrix} \begin{bmatrix} \dot{x} \\ \dot{y} \\ \dot{\phi} \\ \dot{\delta} \end{bmatrix} \quad (2)$$

A partir de (2) se diseña un controlador basado en cinemática inversa que se muestra en (3).

$$\begin{bmatrix} u_c \\ v \\ \omega_\phi \\ \omega_{\delta_c} \end{bmatrix} = \begin{bmatrix} \cos \phi & \sin \phi & d \sin \alpha & 0 \\ -\sin \phi & \cos \phi & d \cos \alpha & 0 \\ 0 & 0 & 1 & 0 \\ 0 & 0 & 0 & 1 \end{bmatrix} \begin{bmatrix} \eta_x \\ \eta_y \\ \eta_\phi \\ \eta_\delta \end{bmatrix} \quad (3)$$

Expresando (3) como un sistema de ecuaciones, es posible obtener de forma independiente las entradas de control para el robot, en donde u_c en (4) corresponde a la velocidad lineal y ω_{δ_c} en (7) representa la velocidad angular, por otra parte v en (5) representa la velocidad lateral del robot, parámetro que no corresponde a una acción de control real.

$$\dot{x} = \eta_x \cos \phi + \eta_y \sin \phi + \eta_\phi d \sin \alpha \quad (4)$$

$$\dot{y} = -\eta_x \sin \phi + \eta_y \cos \phi - \eta_\phi d \cos \alpha \quad (5)$$

$$\dot{\phi} = \eta_\phi \quad (6)$$

$$\dot{\delta} = \eta_\delta \quad (7)$$

Ahora, al considerar la condición no holonómica del robot en la rueda de atrás, se tiene que no existe desplazamiento en el eje transversal por lo tanto se tiene que $v = 0$, entonces resolviendo (5) para η_ϕ se tiene:

$$\eta_\phi = (d \cos \alpha)^{-1} (\eta_y \cos \phi - \eta_x \sin \phi) \quad (8)$$

en donde (8) se usa como solución para (6). Al analizar las condiciones no holonómicas de la rueda del frente se tiene: $L\omega_\phi \cos \delta - u \sin \delta = 0$, asumiendo que $u = u_c$ y $\omega_\phi = \eta_\phi$ se resuelve para δ , en donde δ_{max} es el máximo giro del volante del auto.

$$\delta_d = \delta_{max} \tanh \left[\delta_{max}^{-1} \arctan \left(\frac{L\eta_\phi}{u_c} \right) \right] \quad (9)$$

III. Diseño de la Ley de Control

Dado el vector de coordenadas generalizadas deseadas, el cual se expresa como $q_d = [x_d \ y_d \ \phi_d \ \delta_d]^T$, a partir de esto, se define el vector de errores en coordenadas generalizadas como $\tilde{q} = q_d - q$, por lo tanto el objetivo de control se expresa de la siguiente manera:

$$\lim_{t \rightarrow \infty} \tilde{q} = 0$$

Definiendo los errores cartesianos como $\tilde{x} = x_d - x$, $\tilde{y} = y_d - y$, y el error de ángulo de dirección como $\tilde{\delta} = \delta_d - \delta$, además teniendo en cuenta el objetivo de control y considerando que en la práctica los actuadores tienen las entradas de control restringidas, la ley de control auxiliar es diseñada de la siguiente manera:

$$\eta_x = \dot{x}_d + l_x \tanh(k_x l_x^{-1} \tilde{x}) \quad (10)$$

$$\eta_y = \dot{y}_d + l_y \tanh(k_y l_y^{-1} \tilde{y}) \quad (11)$$

$$\eta_\phi = (d \cos \alpha)^{-1} (\eta_y \cos \phi - \eta_x \sin \phi) \quad (12)$$

$$\eta_\delta = \dot{\delta}_d + l_\delta \tanh(k_\delta l_\delta^{-1} \tilde{\delta}) \quad (13)$$

en donde, $l_x, l_y > 0, l_\delta = \delta_{max}$ corresponden a los valores de máximos en la entrada de los actuadores, por otra parte $k_x, k_y, k_\delta > 0$ son parámetros de diseño; note que (12) es obtenida directamente de (8).

A. Sistema en Lazo Cerrado

Si se asume un seguimiento perfecto de velocidad, es decir $u = u_c$ en forma compacta el sistema en lazo cerrado resulta:

$$\dot{q} = A(q)A^{-1}(q)\eta = \eta \quad (14)$$

Note que, al considerar (10), (11), (12) y (13); (14) puede ser expresada de la siguiente manera:

$$\dot{x} = \dot{x}_d + l_x \tanh(k_x l_x^{-1} \tilde{x}) \quad (15)$$

$$\dot{y} = \dot{y}_d + l_y \tanh(k_y l_y^{-1} \tilde{y}) \quad (16)$$

$$\dot{\phi} = (d \cos \alpha)^{-1} (\eta_y \cos \phi - \eta_x \sin \phi) \quad (17)$$

$$\dot{\delta} = \dot{\delta}_d + l_\delta \tanh(k_\delta l_\delta^{-1} \tilde{\delta}) \quad (18)$$

Ahora, si se definen los siguientes errores, $\tilde{x} = \dot{x}_d - \dot{x}$, $\tilde{y} = \dot{y}_d - \dot{y}$ y $\tilde{\delta} = \dot{\delta}_d - \dot{\delta}$; entonces, las ecuaciones de lazo cerrado se pueden expresar como:

$$\dot{\tilde{x}} = -l_x \tanh(k_x l_x^{-1} \tilde{x}) \quad (19)$$

$$\dot{\tilde{y}} = -l_y \tanh(k_y l_y^{-1} \tilde{y}) \quad (20)$$

$$\dot{\tilde{\delta}} = -l_\delta \tanh(k_\delta l_\delta^{-1} \tilde{\delta}) \quad (21)$$

En la Fig. 2 se presenta un esquema de la estructura del sistema de control en lazo cerrado.

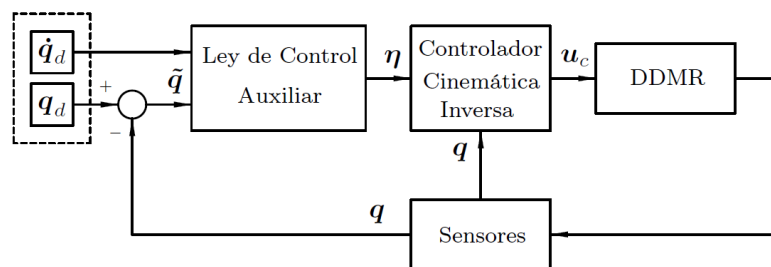


Fig. 2: Estructura del sistema de control en lazo cerrado.

IV. Análisis de estabilidad

Esta sección presenta el análisis de estabilidad de la ley de control auxiliar propuesta en la sección anterior, para lo cual se recurre a la teoría de Lyapunov.

En este caso se considera los siguientes estados como puntos de equilibrio: $[\tilde{x} \ \tilde{y} \ \tilde{\phi}]^T = [0 \ 0 \ 0]^T$, a partir de esto se escoge la función de Lyapunov que se muestra en (22).

$$V = \frac{1}{2}(\tilde{x}^2 + \tilde{y}^2 + \tilde{\delta}^2) \quad (22)$$

Derivando (22) se obtiene (23).

$$\dot{V} = \tilde{x}\dot{\tilde{x}} + \tilde{y}\dot{\tilde{y}} + \tilde{\delta}\dot{\tilde{\delta}} \quad (23)$$

Reemplazando (19) y (20) en (23) se obtiene (24).

$$\dot{V} = -l_x \tanh(k_x l_x^{-1} \tilde{x}) \tilde{x} - l_y \tanh(k_y l_y^{-1} \tilde{y}) \tilde{y} - l_\delta \tanh(k_\delta l_\delta^{-1} \tilde{\delta}) \tilde{\delta} \quad (24)$$

Analizando (24) se determina que \dot{V} es definida negativa, con lo cual se tiene que $\tilde{x}(t) \rightarrow 0$, $\tilde{y}(t) \rightarrow 0$ y $\tilde{\delta}(t) \rightarrow 0$ cuando $t \rightarrow \infty$. Ahora, tomando en consideración este análisis, la ecuación de lazo cerrado en (17) se reduce a:

$$\dot{\phi} = (d \cos \alpha)^{-1} (\dot{y}_d \cos \phi - \dot{x}_d \sin \phi) \quad (25)$$

Con lo cual es posible establecer que está acotada.

V. Diseño de Valores Deseados

Para que el controlador tenga un comportamiento de seguidor de trayectoria se realiza una etapa de planificación de trayectoria definida de forma temporal preferentemente como una función expresada en coordenadas cartesianas, los valores deseados de posición correspondientes a la trayectoria cartesiana son definidos en (26)

$$x_d = x_d(t) \quad (26a)$$

$$y_d = y_d(t) \quad (26b)$$

Tomando la derivada respecto al tiempo la función de posición cartesiana propuesta en (26) se obtienen las expresiones correspondientes a la velocidad deseada en coordenadas cartesianas mostradas en (27)

$$\dot{x}_d = \dot{x}_d(t) \quad (27a)$$

$$\dot{y}_d = \dot{y}_d(t) \quad (27b)$$

Es necesario comprobar que la curvatura de trayectoria deseada cumpla con los requerimientos del robot móvil tipo auto. Una de las formas de hacer es comprobar que la dirección del volante del auto este dentro de los límites de:

$$\delta_d = \arctan\left(\frac{L\dot{\phi}_d}{\dot{x}_d \cos \phi_d + \dot{y}_d \sin \phi_d}\right) \quad (28)$$

Por último, note que en el diseño de la ley de control presentado en la sección III se usa directamente η_ϕ de (8), por tal motivo no requiere ser diseñada.

VI. Simulaciones

En esta sección se presentan las simulaciones para verificar el comportamiento del controlador propuesto, se presentan diseños de trayectorias que cumplen las restricciones del volante y a propósito se muestra también una trayectoria que no va acorde a los límites del giro del volante, todo esto con el fin de verificar el comportamiento del controlador. La Fig. 3 muestra el seguimiento de trayectoria elíptica cuyo radio menor es 2.5m y su radio mayor es 3m, el tiempo establecido para completar una vuelta completa es de 50s. De acuerdo a esto los parámetros usados en el controlador son: el estado inicial estado por $q(0) = [1.5 \ 0 \ 0^\circ]^T$, $l_\phi = 0.8$, $l_x = l_y = 0.7$, $d = 0.4$ y $\alpha = 45^\circ$.

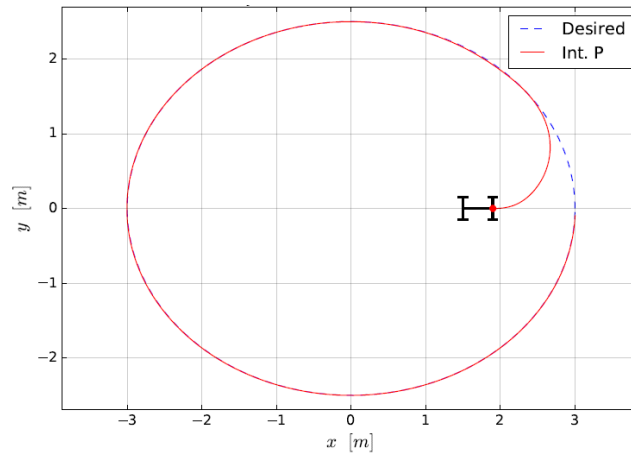


Fig. 3: Trayectoria circular para un robot móvil tipo auto.

Los errores cartesianos y las acciones de control se muestran en la Fig. 4 es importante notar que los errores de posición tienden asintóticamente a cero, y las entradas de control están acorde a los límites del robot.

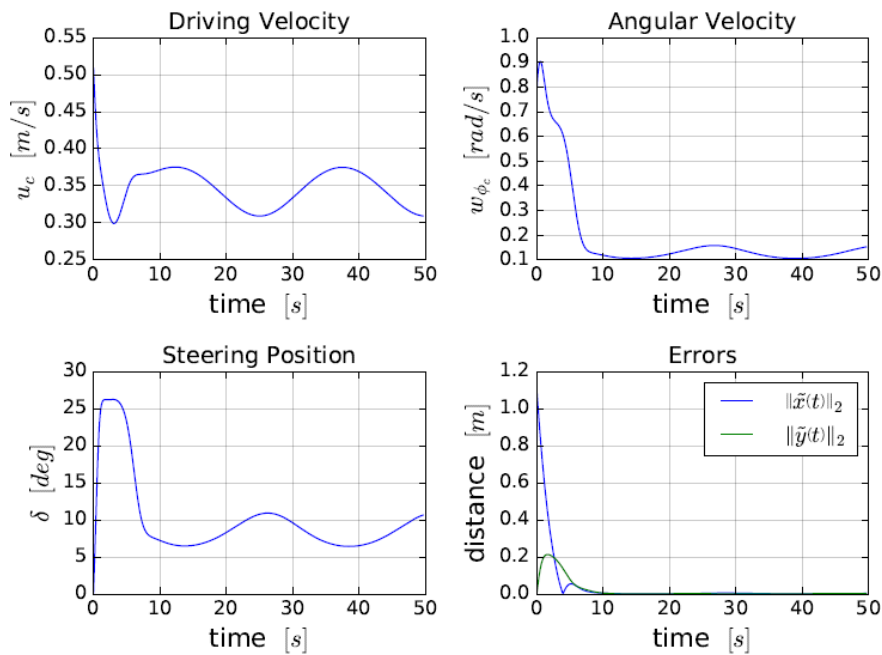


Fig. 4: Acciones de control y convergencia de errores cartesianos.

La Fig. 5 muestra el seguimiento de trayectoria tipo lazo cuyo eje menor es 2m y su eje mayor es 3m, el tiempo establecido para dar una vuelta completa es de 100s, (el radio de giro en los extremos del lazo) de acuerdo a esto los parámetros usados en el controlador son: el estado inicial es dado por $q(0) = [1.5 \ 0 \ 0^0]^T$, $l_\phi = 0.8$, $l_x = l_y = 0.7$, $d = 0.4$ y $\alpha = 0^0$, con estos parámetros el punto de interés se sitúa en la rueda del frente.

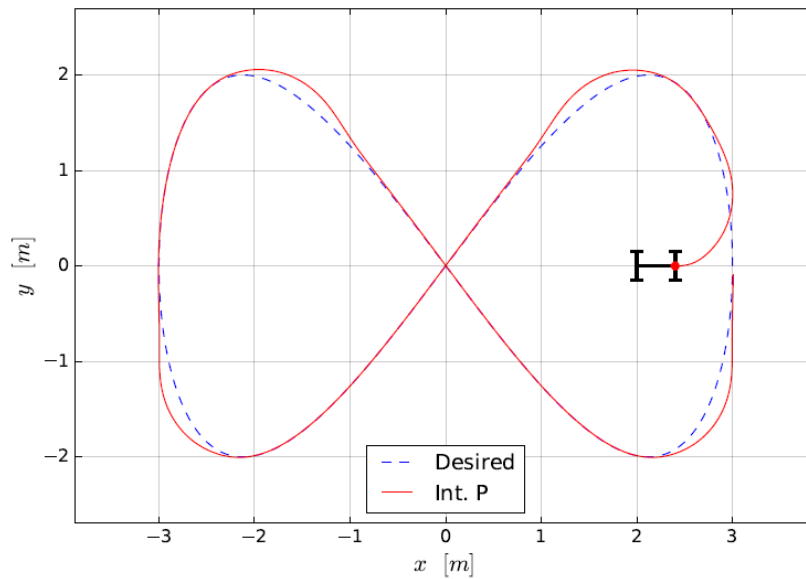


Fig. 5: Trayectoria tipo lazo para un robot móvil tipo auto.

Los errores cartesianos y las acciones de control producidas al realizar una planificación sin tomar en cuenta las restricciones en el giro del volante se muestran en la Fig.6, es importante notar que los errores de posición tienden asintóticamente a cero en donde la trayectoria si cumple con las restricciones física del robot, y donde no lo hace el controlador se adapta lo mejor posible a fin de seguir la trayectoria, es importante notar que las entradas de control están acorde a los límites del robot.

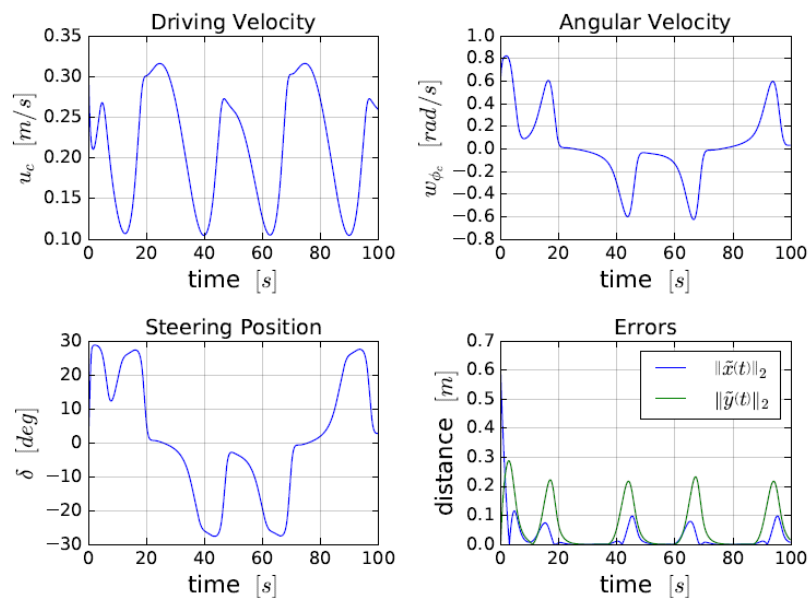


Fig. 6: Acciones de control y convergencia de errores cartesianos.

VII. Trabajo Futuro

Actualmente se está trabajando en proponer un nuevo modelo cinemático para resolver el problema de la indeterminación matemática cuando; adicionalmente se trabaja en cómo formular los valores deseados a fin de que se pueda usar este controlador para solucionar el problema referente a seguimiento de caminos.

VIII. Conclusiones

Basados en el modelado cinemático extendido y usando la cinemática inversa como estrategia de control, se ha propuesto un controlador invariante en el tiempo que cumple con las restricciones no holonómicas; el cual ha sido destinado al seguimiento de trayectoria, considerando el punto de interés en una posición arbitraria.

Referencias

A. De Luca, G. Oriolo, and C. Samson, Feedback control of a nonholonomic car-like robot. Berlin, Heidelberg: Springer Berlin Heidelberg, 1998, pp. 171–253. [Online]. Available: <http://dx.doi.org/10.1007/BFb0036073>

Canudas de Wit, G. Bastin, and B. Siciliano, Eds., Theory of Robot Control, 1st ed. Secaucus, NJ, USA: Springer-Verlag New York, Inc., 1996.

D. Chwa, “Tracking control of differential-drive wheeled mobile robots using a backstepping-like feedback linearization,” IEEE Transactions on Systems, Man, and Cybernetics - Part A: Systems and Humans, vol. 40, no. 6, pp. 1285–1295, Nov 2010

F. Hamerlain, “Trajectory tracking control of a car-like mobile robot in presence of sliding,” in Proceedings of 2012 UKACC International Conference on Control, Sept 2012, pp. 502–507.

L. Hwang and L. J. Chang, “Trajectory tracking and obstacle avoidance of car-like mobile robots in an intelligent space using mixed h_2/h_∞ decentralized control,” IEEE/ASME Transactions on Mechatronics, vol. 12, no. 3, pp. 345–352, June 2007.